



GOBIERNO
DE ESPAÑA

MINISTERIO
DE AGRICULTURA Y PESCA,
ALIMENTACIÓN Y MEDIO AMBIENTE



CONFEDERACIÓN
HIDROGRÁFICA
DEL EBRO

2016

ESTABLECIMIENTO DE UNA METODOLOGÍA PARA EL SEGUIMIENTO DEL POTENCIAL ECOLÓGICO VS. ESTADO TRÓFICO DE LOS EMBALSES DE LA CUENCA DEL EBRO

INFORME FINAL DEL EMBALSE DE ALBIÑA



**ÁREA DE CALIDAD DE AGUAS
CONFEDERACIÓN HIDROGRÁFICA DEL EBRO**



MINISTERIO
DE AGRICULTURA Y PESCA,
ALIMENTACIÓN Y MEDIO AMBIENTE

CONFEDERACIÓN
HIDROGRAFICA
DEL EBRO



ESTABLECIMIENTO DE UNA METODOLOGÍA PARA EL SEGUIMIENTO DEL POTENCIAL ECOLÓGICO VS. ESTADO TRÓFICO DE LOS EMBALSES DE LA CUENCA DEL EBRO

PROMOTOR:

CONFEDERACIÓN HIDROGRÁFICA DEL EBRO



SERVICIO:

CONTROL DEL ESTADO ECOLÓGICO

DIRECCIÓN DEL PROYECTO:

Vicente Sancho Tello Valls y María José Rodríguez Pérez

EMPRESA CONSULTORA:

Instituto Cavanilles de Biodiversidad y Biología Evolutiva de la Universidad de Valencia Estudi General

EQUIPO DE TRABAJO:

Área de Limnología, dirigida por Dr. Eduardo Vicente Pedrós, Catedrático de Ecología. Director del Estudio.

PRESUPUESTO DE LA ADJUDICACIÓN:

89.000,00 €

CONTENIDO:

INFORME INDIVIDUAL DEL EMBALSE DE ALBIÑA

AÑO DE EJECUCIÓN:

2016

FECHA ENTREGA:

DICIEMBRE 2016



REFERENCIA IMÁGENES PORTADA:

Vista de la cola del embalse de Albiña.

CITA DEL DOCUMENTO: Confederación Hidrográfica del Ebro (2016). Establecimiento de una metodología para el seguimiento del potencial ecológico vs. estado trófico de los embalses de la cuenca del Ebro. 212 págs. más anejos. Disponible en PDF en la web: <http://www.chebro.es>

El presente informe pertenece al Dominio Público en cuanto a los Derechos Patrimoniales recogidos por el Convenio de Berna. Sin embargo, se reconocen los Derechos de los Autores y de la Confederación Hidrográfica del Ebro a preservar la integridad del mismo, las alteraciones o la realización de derivados sin la preceptiva autorización administrativa con fines comerciales, o la cita de la fuente original en cuanto a la infracción por plagio o colusión. A los efectos prevenidos, las autorizaciones para uso no científico del contenido deberán solicitarse a la Confederación Hidrográfica del Ebro.



ÍNDICE

| | Página |
|---|-----------|
| 1. INTRODUCCIÓN..... | 7 |
| 2. DESCRIPCIÓN GENERAL DEL EMBALSE Y DE LA CUENCA VERTIENTE..... | 7 |
| 2.1. <i>Ámbito geológico y geográfico</i> | 7 |
| 2.2. <i>Características morfométricas e hidrológicas</i> | 8 |
| 2.3. <i>Usos del agua</i> | 9 |
| 2.4. <i>Registro de zonas protegidas.....</i> | 9 |
| 3. TRABAJOS REALIZADOS | 10 |
| 4. DIAGNÓSTICO DE LA SITUACIÓN ACTUAL | 11 |
| 4.1. <i>Características físico-químicas de las aguas.....</i> | 11 |
| 4.2. <i>Hidroquímica del embalse.....</i> | 14 |
| 4.3. <i>Fitoplancton y concentración de clorofila</i> | 15 |
| 4.4. <i>Zooplancton.....</i> | 19 |
| 5. DIAGNÓSTICO DEL GRADO TRÓFICO..... | 21 |
| 6. DIAGNOSTICO DEL POTENCIAL ECOLÓGICO | 22 |

ANEXO I. REPORTAJE FOTOGRÁFICO



ÍNDICE DE FIGURAS Y TABLAS

ÍNDICE DE FIGURAS CORRESPONDIENTES A GRÁFICOS Y FOTOS

| | |
|--|----|
| Figura 1. Volumen embalsado y salida durante el año hidrológico 2015-2016. | 9 |
| Figura 2. Localización de la estación de muestreo en el embalse..... | 10 |
| Figura 3. Perfil vertical de la temperatura y pH | 11 |
| Figura 4. Perfil vertical de la extinción luminosa y oxígeno disuelto | 12 |
| Figura 5. Perfil vertical de la conductividad | 13 |
| Figura 6. Perfil vertical de la clorofila a..... | 16 |
| Figura 7. Vista de la cola del embalse..... | 28 |
| Figura 8. Vista del punto de acceso al embalse | 28 |

ÍNDICE DE TABLAS

| | |
|---|----|
| Tabla 1. Características morfométricas del embalse de Albiña..... | 8 |
| Tabla 2. Estructura y composición de la comunidad de fitoplancton..... | 15 |
| Tabla 3. Composición detallada de la comunidad de fitoplancton..... | 16 |
| Tabla 4. Estructura y composición de la comunidad de zooplancton..... | 19 |
| Tabla 5. Composición detallada de la comunidad de zooplancton..... | 20 |
| Tabla 6. Parámetros indicadores y rangos de estado trófico. | 21 |
| Tabla 7. Diagnóstico del estado trófico del embalse de Albiña. | 21 |
| Tabla 8. Parámetros y rangos para la determinación del potencial ecológico experimental. | 22 |
| Tabla 9. Combinación de los indicadores. | 23 |
| Tabla 10. Diagnóstico del potencial ecológico del embalse de Albiña. | 23 |
| Tabla 11. Valores de referencia propios del tipo (VR_t) y límites de cambio de clase de potencial ecológico de los indicadores de los elementos de calidad de embalses (RD 817/2015). | 24 |
| Tabla 12. Parámetros, rangos del RCE y valores para la determinación del potencial ecológico normativo. | 25 |
| Tabla 13. Combinación de los indicadores. | 25 |
| Tabla 14. Diagnóstico del potencial ecológico (PE_{norm}) del embalse de Albiña. | 26 |



1. INTRODUCCIÓN

El presente documento recoge los resultados de los trabajos realizados en el embalse de Albiña durante los muestreos de 2016 y la interpretación de los mismos, a efectos de proporcionar una referencia que facilite la consulta y explotación de la información obtenida.

En general, se recurre a presentaciones gráficas y sintéticas de la información, acompañadas de un texto conciso, lo que permitirá una consulta ágil y rápida del documento.

En el **Anexo I** se presenta un reportaje fotográfico que refleja el estado del embalse durante el periodo estudiado (verano 2016, correspondiente al año hidrológico 2015-2016).

En apartados sucesivos se comentan los siguientes aspectos:

- Resultados del estudio en el embalse (FASE DE CARACTERIZACIÓN) de todos los aspectos tratados (hidrológicos, fisicoquímicos y biológicos), que culminan en el diagnóstico del grado trófico.
- Clasificación del “Potencial Ecológico experimental”, tras la aplicación de los indicadores biológicos, propuestos en la MEMORIA DEL ESTUDIO, y fisicoquímicos, propuestos en la Directiva Marco del Agua.
-
- Clasificación del “Potencial Ecológico normativo”, tras la aplicación de los indicadores biológicos y fisicoquímicos propuestos en la Directiva Marco del Agua.

2. DESCRIPCIÓN GENERAL DEL EMBALSE Y DE LA CUENCA VERTIENTE

2.1. Ámbito geológico y geográfico

El embalse de Albiña está situado en las faldas del puerto de Kruzeta, dentro de los términos municipales de Aramaio y Legutiano, en la provincia de Álava. Regula las aguas del río Albiña.

Geológicamente, la cuenca del embalse de Albiña, se enclava entre materiales del Cretácico inferior (piso Aptiense y facies Urgoniana), constituidos por areniscas, lutitas y margas.



2.2. Características morfométricas e hidrológicas

Se trata de un embalse pequeño, de unas 50 ha de superficie y de geometría regular y alargada.

La cuenca de drenaje del embalse de Albiña tiene una superficie de 10,40 km².

El embalse tiene una capacidad total de 5,67 hm³ y una profundidad media de 12,5 m. La profundidad máxima es de 25,4 m.

En la tabla 1 se presentan las características morfométricas del embalse.

Tabla 1. Características morfométricas del embalse de Albiña.

| | |
|----------------------------|-----------------------|
| Superficie de la cuenca | 10,40 km ² |
| Capacidad total N.M.N. | 5,67 hm ³ |
| Capacidad útil | 5,34 hm ³ |
| Superficie inundada | 50 has |
| Cota máximo embalse normal | 608,3 msnm |

Tipo de clasificación: 7. Monomictico, calcáreo, de zona húmeda, perteneciente a ríos de cabecera y tramo alto, con temperatura media anual menor de 15 °C.

Se trata de un embalse monomictico. En el periodo estival existe termoclina entre los 4 y 8 metros de profundidad. El límite inferior de la capa fótica en verano se encuentra a 5,5 metros de profundidad determinado mediante medidor fotoeléctrico, aunque la estimación mediante el Disco de Secchi era de 4,4 m.

El tiempo de residencia hidráulica media en el embalse de Urrúnaga para el año hidrológico 2015-2016 es de 10,48 meses. Este dato se ha estimado a partir del caudal de salida ecológico y las variaciones de volumen del embalse.

En la figura 1 se presentan los valores diarios del volumen embalsado y salida media correspondientes al año hidrológico 2015-2016.

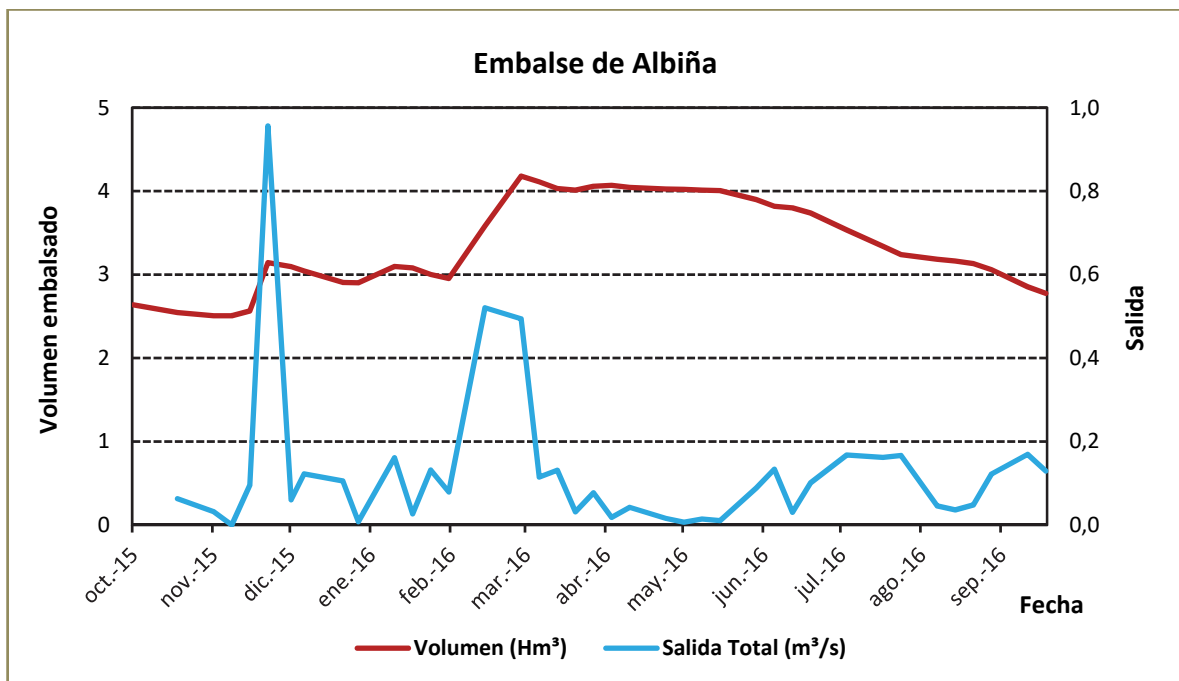


Figura 1. Volumen embalsado y salida durante el año hidrológico 2015-2016.

2.3. Usos del agua

Las aguas del embalse se destinan al consumo humano. También existe un uso recreativo, siendo este embalse en su totalidad zona de pesca libre y coto de pesca de cangrejo rojo.

2.4. Registro de zonas protegidas

El embalse de Albiña forma parte del Registro de Zonas Protegidas elaborado por la Confederación Hidrográfica del Ebro, en contestación al artículo 6 de la Directiva Marco del Agua, en la categoría de zonas de extracción de agua para consumo humano.



3. TRABAJOS REALIZADOS

Para acometer la caracterización del embalse se ha ubicado una estación de muestreo en las inmediaciones de la presa (ver figura 2). Se ha completado una campaña de muestreo el 21 de Junio de 2016, en la que se midieron *in situ* los parámetros físico-químicos y la transparencia en la columna de agua, se tomó una muestra de agua integrada y otras puntuales para los análisis químicos y se realizaron muestreos de fitoplancton y zooplancton.

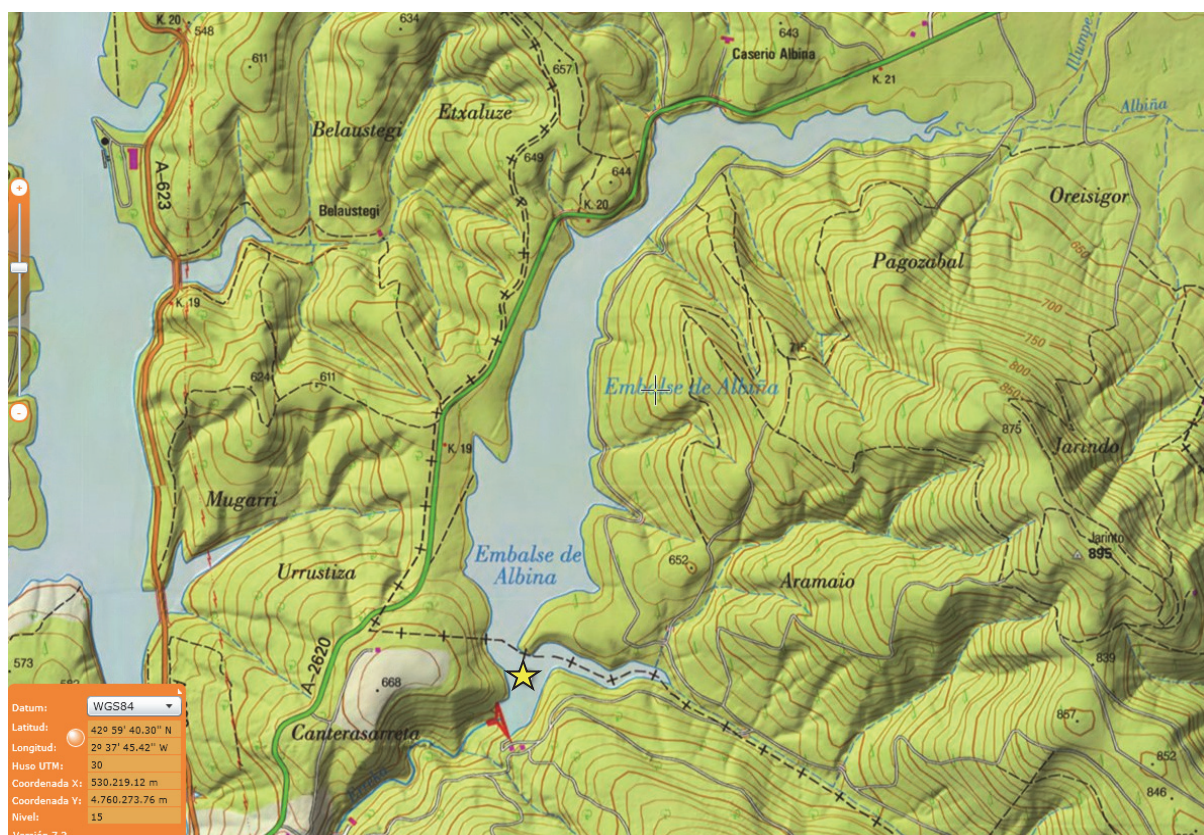
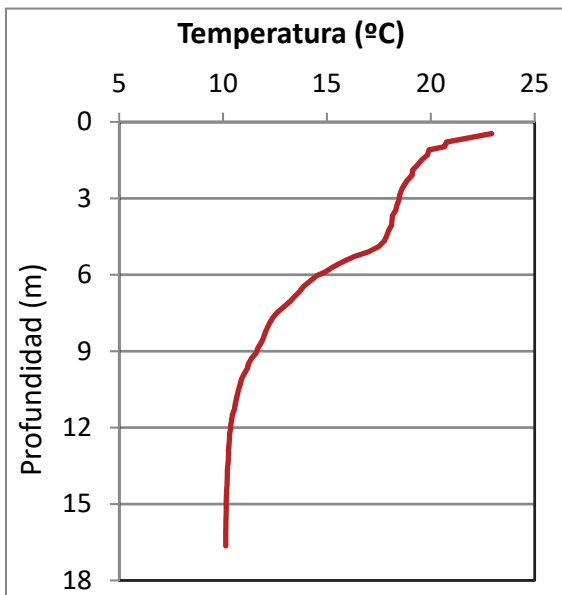


Figura 2. Localización de la estación de muestreo en el embalse.

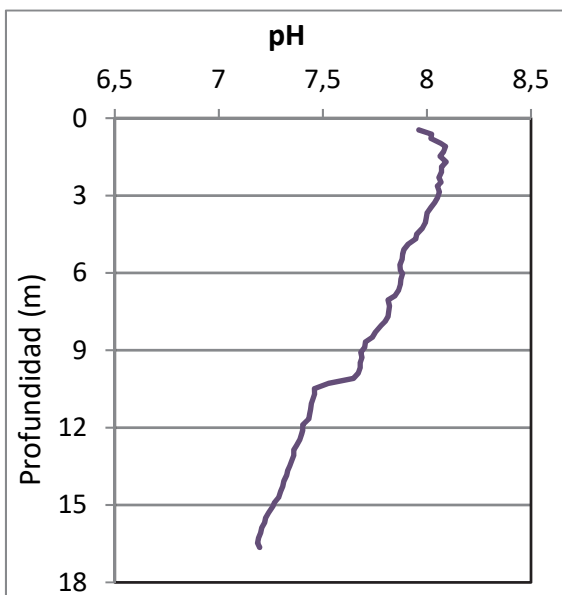
4. DIAGNÓSTICO DE LA SITUACIÓN ACTUAL

4.1. Características físico-químicas de las aguas

De los resultados obtenidos en las variables fisicoquímicas se desprenden las siguientes apreciaciones:

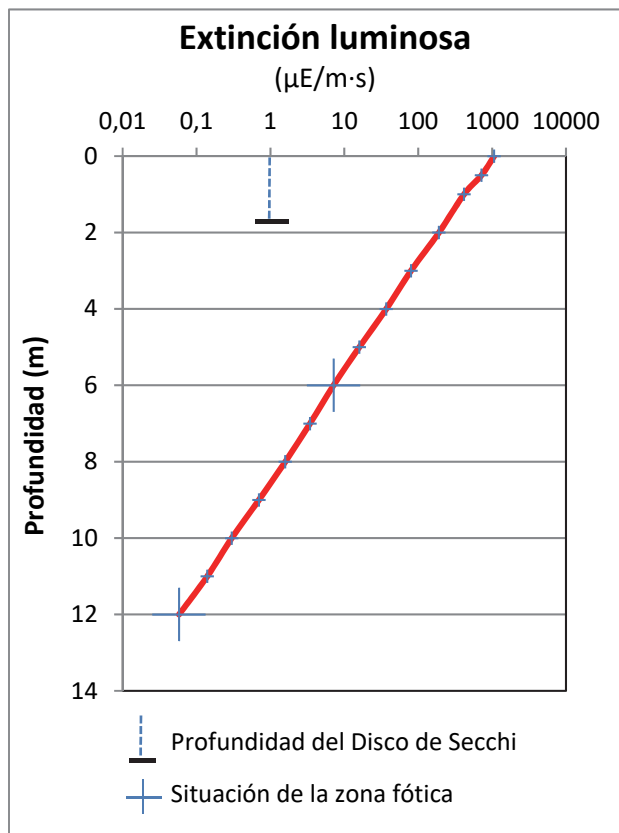


La temperatura del agua oscila entre los 10,13 °C – en el fondo- y los 21,86 °C - máximo registrado en superficie-. En el momento del muestreo (Junio 2016) la termoclinia se sitúa entre los 5 – 13 metros de profundidad.



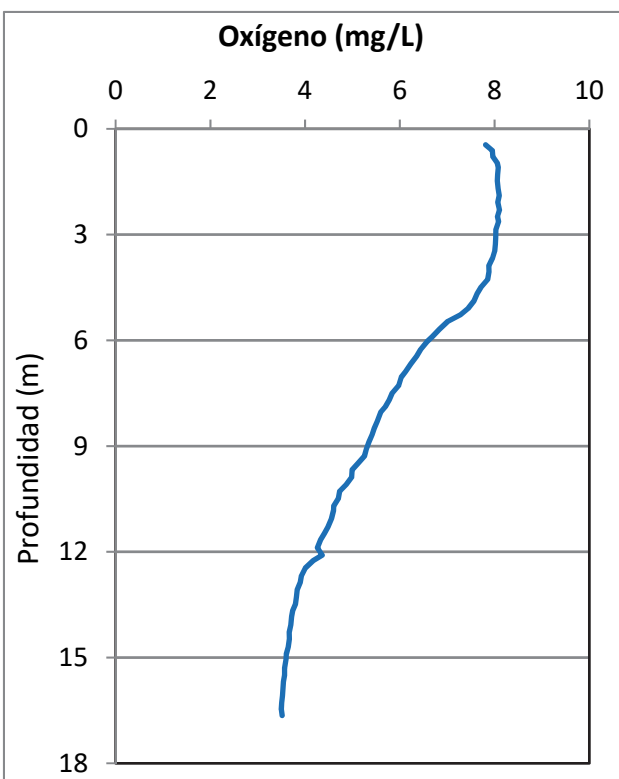
El pH del agua en la superficie es de 8,02, con un máximo epilimnético a 1 m con un valor de 8,07. En el fondo del embalse de Albiña el pH es de 7,19, mínimo hipolimnético.

Figura 3. Perfil vertical de la temperatura y pH.



La transparencia del agua registrada en la lectura del disco de Secchi (DS) es de 1,80 m, lo que supone una profundidad de la capa fótica en torno a 4,4 metros, la capa fótica determinada con medidor fotoeléctrico es de 5,5 m, por lo que a efectos de muestreo se considera el mínimo de 6 metros como espesor de columna de agua.

La turbidez media de la zona eufótica (muestra integrada a 6 m de profundidad) fue de 6,90 UAF.



Las condiciones de oxigenación de la columna de agua en el epilimnion alcanzan una concentración media de 8,01 mg/L. En el hipolimnion las condiciones de oxigenación obtenidas son 4,27 mg/L. No se han detectado condiciones anóxicas (<2 mg/L O₂).

Figura 4. Perfil vertical de la extinción luminosa y oxígeno disuelto

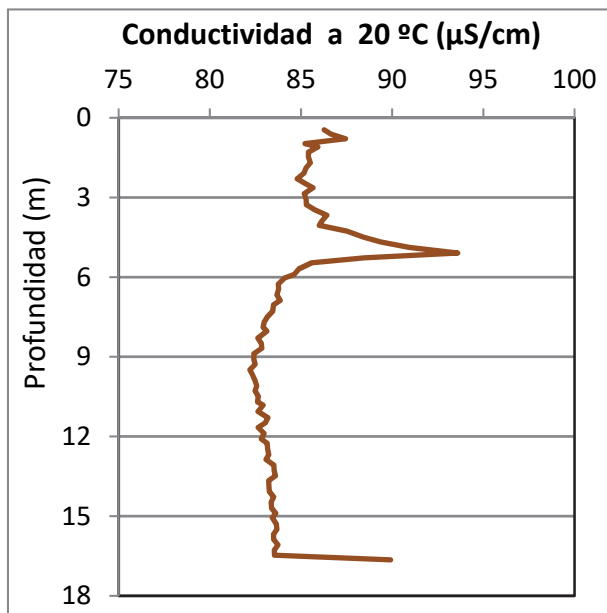


Figura 5. Perfil vertical de la conductividad.

La conductividad del agua registrada es de 86 $\mu\text{S}/\text{cm}$ en la superficie y de 89 $\mu\text{S}/\text{cm}$ en el fondo. La conductividad más alta se registra a los 5 m de profundidad, 93 $\mu\text{S}/\text{cm}$, en el inicio del metalimnion.



4.2. Hidroquímica del embalse

De los resultados analíticos obtenidos en la campaña de 2016 en la muestra integrada, se desprenden las siguientes apreciaciones:

- La concentración de fósforo total (PT) en la muestra integrada (zona fótica) fue de 10,07 µg P/L.
- La concentración de P soluble fue de 0,83 µg P/L.
- La concentración de nitrógeno total (NT) fue de 0,41 mg N/L.
- La concentración de nitrógeno inorgánico oxidado (nitrato + nitrito, NIO) tomó un valor de 0,21 mg N/L.
- La concentración de amonio (NH_4) resultó estar por debajo del límite de detección (<0,01 mg NH_4 /L).
- La concentración de sílice tomó un valor de 1,91 mg SiO_2 /L.
- La alcalinidad en este embalse (zona fótica) fue de 0,52 meq/L.



4.3. Fitoplancton y concentración de clorofila

En el análisis realizado se han identificado un total de 27 especies, distribuidas en los siguientes grupos taxonómicos:

| | |
|-------------------|----|
| BACILLARIOPHYCEAE | 3 |
| CHRYSTOPHYCEAE | 2 |
| XANTHOPHYCEAE | 1 |
| CHLOROPHYCEAE | 10 |
| ZYGNEMATOPHYCEAE | 1 |
| CYANOBACTERIA | 2 |
| CRYPTOPHYCEAE | 2 |
| DINOPHYCEAE | 3 |
| EUGLENOPHYCEAE | 3 |

La estructura de la comunidad de fitoplancton se resume en la tabla 2 y la composición detallada en la tabla 3.

Tabla 2. Estructura y composición de la comunidad de fitoplancton.

| PARÁMETRO | UNIDAD | VALOR |
|-----------------------------------|---------------------------|---------------------------|
| Nº CÉLULAS TOTALES | nº cél./ml | 1859 |
| BIOVOLUMEN TOTAL | $\mu\text{m}^3/\text{ml}$ | 1244771 |
| Diversidad Shannon-Wiener | | 2,94 |
| CLASE PREDOMINANTE (DENSIDAD) | | Bacillariophyceae |
| Nº células/ml | | 843 |
| ESPECIE PREDOMINANTE (DENSIDAD) | | <i>Cyclotella radiosa</i> |
| Nº células/ml | | 831 |
| CLASE PREDOMINANTE (BIOVOLUMEN) | | Bacillariophyceae |
| $\mu\text{m}^3/\text{ml}$ | | 850621 |
| ESPECIE PREDOMINANTE (BIOVOLUMEN) | | <i>Cyclotella radiosa</i> |
| $\mu\text{m}^3/\text{ml}$ | | 845371 |



La concentración de clorofila fue de 2,47 µg/L en la muestra integrada (profundidad señalada en la figura 6 con una línea roja). Se observa en el perfil medido por fluorimetría que el valor máximo de concentración de clorofila se sitúa en los 5,3 m de profundidad con un valor de 4,2 µg/L.

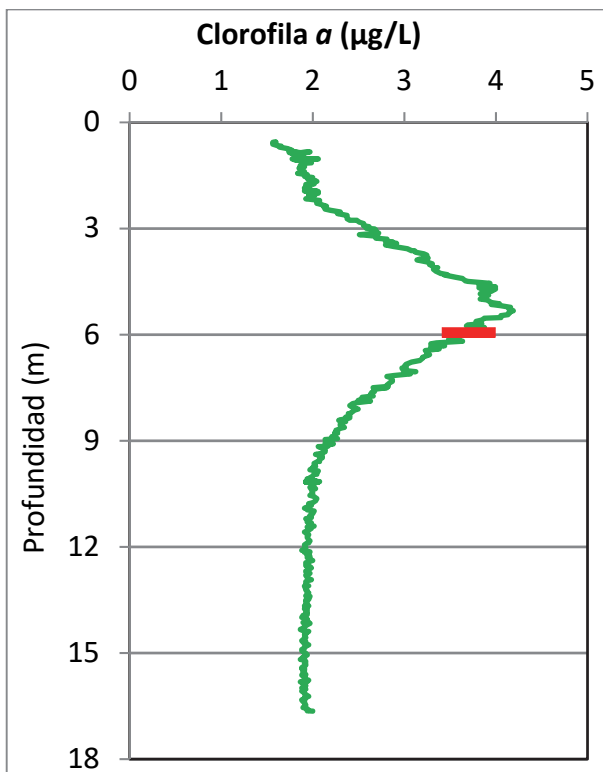


Figura 5. Perfil vertical de la clorofila a

La composición de la población fitoplanctónica de la muestra integrada de la zona fótica indicando su abundancia y biovolumen, y la densidad cualitativa de la muestra integrada de fitoplancton del muestreo vertical con red de plancton, se muestra en la tabla 3:

Tabla 3. Composición detallada de la comunidad de fitoplancton.

| COD_EMB_LW | COMPOSICIÓN | ABUNDANCIA | BIOVOLUMEN | CUALITATIVO |
|-------------------------------------|---|------------|------------|-------------|
| | | | | |
| BACILLARIOPHYCEAE/CENTRALES/ | | | | |
| AULAMBI0 | <i>Aulacoseira ambigua</i> | | | 1 |
| CYCLRADIO | <i>Cyclotella radiosa</i> (=Lindavia radiosa) | 831,35 | 845371,25 | 2 |
| BACILLARIOPHYCEAE /PENNALES/ | | | | |
| ACHNMINU0 | <i>Achnanthidium minutissimum</i> (=Achnanthes minutissima) | | | 1 |



| COD_EMB_LW | COMPOSICIÓN | ABUNDANCIA | BIOVOLUMEN | CUALITATIVO |
|------------|---|------------|------------|-----------------------------------|
| | | | | cél./ml µm³/ml (1 al 5) |
| FRAGIGENO0 | <i>Fragilaria</i> sp. | 9,45 | 2579,06 | |
| NAVICRYH0 | <i>Navicula cryptocephala</i> | 2,36 | 2671,11 | |
| NITZPALE0 | <i>Nitzschia palea</i> | | | 1 |
| | CHRYSTOPHYCEAE | | | |
| DINOBAVA0 | <i>Dinobryon bavaricum</i> | 7,09 | 1234,46 | 1 |
| STICDOED0 | <i>Stichogloea doederleinii</i> | 37,79 | 7756,11 | 2 |
| | XANTHOPHYCEAE | | | |
| TRACLENTO | <i>Trachydiscus lenticularis</i> | 89,75 | 8458,51 | |
| TRACSEXA0 | <i>Trachydiscus sexangulatus</i> | | | 1 |
| | CHLOROPHYTA | | | |
| COENHIND0 | <i>Coenochloris hindakii</i> | 63,77 | 2136,89 | |
| CRUCTETR0 | <i>Crucigenia tetrapedia</i> | 75,58 | 5441,54 | 1 |
| CRUGPULC0 | <i>Crucigeniella pulchra</i> | 9,45 | 222,59 | |
| ELAKGELA0 | <i>Elakatothrix gelatinosa</i> | | | 1 |
| MONODYBO0 | <i>Monoraphidium dybowskii</i> | 1,89 | 48,97 | |
| MONOMINU0 | <i>Monoraphidium minutum</i> | 24,56 | 602,85 | |
| SCENARMA0 | <i>Scenedesmus armatus</i> (=Desmodesmus armatus) | 9,45 | 356,15 | |
| SCENCOST0 | <i>Scenedesmus costato-granulatus</i> (=Desmodesmus costato-granulatus) | 42,51 | 1602,66 | |
| SCENDISCO0 | <i>Scenedesmus verrucosus</i> (=Scenedesmus disciformis) | 1,84 | 153,94 | 1 |
| SPHAPLAN0 | <i>Sphaerocystis plantonica</i> | | | 1 |
| TETRCAUD0 | <i>Tetraedron caudatum</i> | | | 1 |
| TETRMEDIO0 | <i>Tetraedron mediocris</i> | 18,89 | 927,47 | |
| TETRTRIGO0 | <i>Tetraedron trigonum</i> | 0,46 | 74,42 | 1 |
| TETRKOMA0 | <i>Tetrastrum komarekii</i> | | | 1 |
| | ZYGNEMATOPHYCEAE | | | |
| COSMABBRO | <i>Cosmarium abbreviatum</i> | 40,15 | 8409,04 | 1 |
| | CYANOBACTERIA | | | |
| APHAELAB0 | <i>Aphanethece elabens</i> | 236,18 | 1502,50 | |
| PLANRUBE0 | <i>Planktothrix rubescens</i> (=Oscillatoria rubescens) | 200,29 | 26978,50 | 5 |
| | CRYPTOPHYCEAE | | | |
| CRYPEROS0 | <i>Cryptomonas erosa</i> | 23,62 | 56452,98 | 1 |
| PLAGLACU0 | <i>Plagioselmis</i> (=Rhodomonas) lacustris | 30,70 | 2551,42 | 1 |
| | DINOPHYCEAE | | | |
| GYMNUBER0 | <i>Gymnodinium uberrimum</i> | 2,30 | 30403,45 | 1 |
| KATODGEN0 | <i>Katodinium</i> sp. | 4,72 | 3561,48 | |
| PERIUMBO0 | <i>Peridinium umbonatum</i> (=Parvodinium umbonatum) | 94,47 | 224373,07 | 1 |
| | EUGLENOPHYCEAE | | | |
| EUGLACUS0 | <i>Euglena acus</i> | | | 1 |
| EUGLAGIL0 | <i>Euglena agilis</i> | 0,46 | 338,67 | 1 |
| LEPOTEXT0 | <i>Lepocinclis texta</i> | | | 1 |
| PHACTORT0 | <i>Phacus tortus</i> | 0,46 | 9380,81 | 1 |
| TRACVOLV0 | <i>Trachelomonas volvocina</i> | 0,46 | 1181,74 | |



| COD_EMB_LW | COMPOSICIÓN | ABUNDANCIA | BIOVOLUMEN | CUALITATIVO |
|------------|---------------------------|------------|---------------------|-------------|
| | FITOPLANCTON | cél./ml | µm ³ /ml | (1 al 5) |
| | TOTALES BACILLARIOPHYCEAE | 843,15 | 850621,42 | |
| | TOTALES CHRYSOPHYCEAE | 44,87 | 8990,57 | |
| | TOTALES SYNUROPHYCEAE | 0,00 | 0,00 | |
| | TOTALES XANTHOPHYCEAE | 89,75 | 8458,51 | |
| | TOTALES CHLOROPHYTA | 248,39 | 11567,48 | |
| | TOTALES ZYGNEMATOPHYCEAE | 40,15 | 8409,04 | |
| | TOTALES CYANOBACTERIA | 436,47 | 28480,99 | |
| | TOTALES CRYPTOPHYCEAE | 54,32 | 59004,39 | |
| | TOTALES DINOPHYCEAE | 101,49 | 258338,00 | |
| | TOTALES EUGLENOPHYCEAE | 1,38 | 10901,23 | |
| | TOTALES ALGAS | 1859,98 | 1244771,64 | |

Nota: Entre paréntesis se cita el anterior nombre de la especie.

| Clases de abundancia | % de presencia |
|----------------------|----------------|
| 1 | <9 |
| 2 | 10-24 |
| 3 | 25-60 |
| 4 | 61-99 |
| 5 | >99 |

4.4. Zooplankton

En el análisis de zooplancton de las muestras del embalse de Albiña se han identificado un total de 11 especies, distribuidas en los siguientes grupos taxonómicos:

- 2 Cladocera
 - 1 Copepoda
 - 8 Rotifera

La estructura y composición de la comunidad de zooplancton se resume en la tabla 4:

Tabla 4. Estructura y composición de la comunidad de zooplancton.

| PARAMETRO | UNIDAD | VALOR |
|--|-------------------|-----------------------------|
| PROFUNDIDAD | m | 5,0 |
| DENSIDAD TOTAL | individuos/L | 337,12 |
| BIOMASA TOTAL | µg/L | 62,33 |
| Diversidad Shannon-Wiener | | 0,81 |
| CLASE PREDOMINANTE (DENSIDAD) | | Rotíferos |
| individuos/L | | 332,88 |
| TAXÓN PREDOMINANTE (DENSIDAD) | | <i>Asplanchna priodonta</i> |
| individuos/L | | 298,46 |
| CLASE PREDOMINANTE (BIOMASA) | | Cladóceros |
| µg/L | | 31,44 |
| ESPECIE PREDOMINANTE (BIOMASA) | | <i>Daphnia longispina</i> |
| µg/L | | 30,69 |
| COLUMNA AGUA INTEGRADA (red vertical) | | 0 - 17 m |
| CLADÓCEROS: 3,63 % | COPÉPODOS: 3,42 % | ROTÍFEROS: 92,94 % |



La composición detallada de la población zooplanctónica presente en la muestra cuantitativa de zooplancton indicando la densidad y biomasa, y el porcentaje de las especies presentes en la muestra integrada de la red vertical, se muestran en la tabla 5:

Tabla 5. Composición detallada de la comunidad de zooplancton.

| CÓDIGO | COMPOSICIÓN | ABUNDANCIA | BIOMASA | PORCENTAJE |
|-------------------|--------------------------------|---------------|---------------|--------------|
| TAXÓN | ZOOPLANCTON | Ind./L | mg/L | % |
| CLADÓCEROS | | | | |
| DAPHLONG0 | <i>Daphnia longispina</i> | 3,46 | 13,15 | 3,42 |
| HOLOGIBB0 | <i>Holopedium gibberum</i> | 0,38 | 0,96 | 0,21 |
| COPÉPODOS | | | | |
| CYCLOPFAM | Ciclópido | 0,38 | 0,14 | 3,42 |
| ROTÍFEROS | | | | |
| ASCOOVAL0 | <i>Ascomorpha ovalis</i> | 9,23 | 0,58 | 0,43 |
| ASPLPRIO0 | <i>Asplanchna priodonta</i> | 298,46 | 223,85 | 88,03 |
| COLLPELA0 | <i>Collotheca pelagica</i> | 6,15 | 0,19 | 0,85 |
| PLOEHUDS0 | <i>Ploesoma hudsoni</i> | 0,38 | 0,35 | 0,21 |
| POLYDOLI0 | <i>Polyarthra dolichoptera</i> | 7,69 | 0,39 | 0,85 |
| SYNCLONG0 | <i>Synchaeta longipes</i> | 1,54 | 0,51 | 0,43 |
| SYNCOBLO0 | <i>Synchaeta oblonga</i> | 9,23 | 0,46 | 2,14 |
| TRICHGEN0 | <i>Trichocerca sp</i> | 0,19 | 0,005 | 0,00 |
| | Total Cladóceros | 3,85 | 14,12 | 3,63 |
| | Total Copépodos | 0,38 | 0,14 | 3,42 |
| | Total Rotíferos | 332,88 | 226,33 | 92,95 |
| | Total | 337,12 | 240,59 | 100 |



5. DIAGNÓSTICO DEL GRADO TRÓFICO

Se han considerado los indicadores especificados en la tabla 6 para los valores medios en el embalse, estableciéndose el estado trófico global del embalse según la metodología descrita en la sección 5 de la MEMORIA DEL ESTUDIO.

Tabla 6. Parámetros indicadores y rangos de estado trófico.

| Parámetros Estado Trófico | Ultraoligotrófico | Oligotrófico | Mesotrófico | Eutrófico | Hipereutrófico |
|--|-------------------|------------------|------------------|------------------|-----------------|
| Concentración P ($\mu\text{g P/L}$) | 0-4 | 4-10 | 10-35 | 35-100 | >100 |
| Disco de Secchi (m) | >6 | 6-3 | 3-1,5 | 1,5-0,7 | <0,7 |
| Clorofila a ($\mu\text{g/L}$) epilimnion | 0-1 | 1-2,5 | 2,5-8 | 8,0-25 | >25 |
| Densidad algal (cel./ml) | <100 | 100-1000 | 1000-10000 | 10000-100000 | >100000 |
| VALOR PROMEDIO FINAL | < 1,8 | 1,8 – 2,6 | 2,6 – 3,4 | 3,4 – 4,2 | > 4,2 |

En la tabla 7 se incluye el estado trófico indicado por cada uno de los parámetros, así como la catalogación de la masa de agua según la valoración de este estado trófico final.

Tabla 7. Diagnóstico del estado trófico del embalse de Albiña.

| INDICADOR | VALOR | ESTADO TRÓFICO |
|-----------------------------|-------------|--------------------|
| P TOTAL | 10,07 | Mesotrófico |
| CLOROFILA a | 2,47 | Oligotrófico |
| DISCO SECCHI | 1,75 | Mesotrófico |
| DENSIDAD ALGAL | 1860 | Mesotrófico |
| ESTADO TROFICO FINAL | 2,75 | MESOTRÓFICO |

Atendiendo a los criterios seleccionados, la transparencia (DS), la densidad algal y el fósforo total (PT) determinan para el embalse un estado mesotrófico. Mientras que la concentración de clorofila a clasifica el embalse como oligotrófico. Combinando todos los indicadores el estado trófico final para el embalse de Albiña ha resultado ser **MESOTRÓFICO**.



6. DIAGNOSTICO DEL POTENCIAL ECOLÓGICO

a) Aproximación experimental (*PEexp*)

Se han considerado los indicadores especificados en la tabla 8, estableciéndose el potencial ecológico del embalse según la metodología descrita en la sección 6.3, apartado a) de la MEMORIA DEL ESTUDIO.

Tabla 8. Parámetros y rangos para la determinación del potencial ecológico experimental.

| Indicador | Elementos | Parámetros | Bueno o superior | Moderado | Deficiente | Malo | |
|------------------------------------|---------------|---|-------------------|----------------------------------|----------------------------------|------------------|-------|
| Biológico | Fitoplancton | Densidad algal (cel/ml) | < 10 ³ | 10 ³ -10 ⁴ | 10 ⁴ -10 ⁵ | >10 ⁵ | |
| | | Biomasa algal, Clorofila <i>a</i> (µg/L) | < 2,5 | 2,5-8 | 8,0-25 | >25 | |
| | | Biovolumen algal (mm ³ /L) | < 0,5 | 0,5-2 | 2-8 | >8 | |
| | | <i>Phytoplankton Assemblage Index (Q)</i> | > 3 | 2-3 | 1-2 | <1 | |
| | | <i>Trophic Index (TI)</i> | < 2,79 | 2,79-3,52 | 3,52-4,25 | >4,25 | |
| | | <i>Phytoplankton Trophic Index (PTI)</i> | > 3,4 | 2,6-3,4 | 1,8-2,6 | <1,8 | |
| | | <i>Phytoplankton Reservoir Trophic Index (PRTI)</i> | < 6,6 | 6,6-9,4 | 9,4-12,2 | >12,2 | |
| | Zooplancton | <i>Zooplankton Reservoir Trophic Index (ZRTI)</i> | < 6,6 | 6,6-9,4 | 9,4-12,2 | >12,2 | |
| INDICADOR BIOLÓGICO (1) | | | < 2,6 | 2,6 - 3,4 | 3,4 – 4,2 | > 4,2 | |
| Indicador | Elementos | Parámetros | Muy bueno | Bueno | Moderado | Deficiente | Malo |
| Fisicoquímico | Transparencia | Disco de Secchi (m) | >6 | 3-6 | 1, 5 -3 | 0, 7 -1,5 | <0, 7 |
| | Oxigenación | Concentración O ₂ (mg O ₂ /L) | >8 | 8-6 | 6-4 | 4-2 | <2 |
| | Nutrientes | Concentración de PT (µg P/L) | 0-4 | 4-10 | 10-35 | 35-100 | >100 |
| INDICADOR FISICOQUÍMICO (2) | | | Muy bueno | Bueno | Moderado | | |
| | | | < 1,6 | 1,6 – 2,4 | > 2,4 | | |

(1) La valoración del indicador biológico se obtiene asignando la calificación del elemento de menor puntuación (fitoplancton o zooplancton) o peor calidad, según la metodología *one out, all out*.

(2) La valoración del indicador fisicoquímico se obtiene asignando la calificación del elemento de menor puntuación o peor calidad, según la metodología *one out, all out*.



La combinación de los dos indicadores, fisicoquímico y biológico, para la obtención del potencial ecológico experimental final sigue el esquema de decisiones indicado en la tabla 9:

Tabla 9. Combinación de los indicadores.

| Indicador Biológico | Indicador Fisicoquímico | Potencial Ecológico Experimental |
|---------------------|-------------------------|----------------------------------|
| Bueno o superior | Muy bueno | Bueno o superior |
| Bueno o superior | Bueno | Bueno o superior |
| Bueno o superior | Moderado | Moderado |
| Moderado | Indistinto | Moderado |
| Deficiente | Indistinto | Deficiente |
| Malo | Indistinto | Malo |

En la tabla 10 se incluye el potencial indicado por cada uno de los parámetros e indicadores, así como la catalogación de la masa de agua según el potencial ecológico final.

Tabla 10. Diagnóstico del potencial ecológico del embalse de Albiña.

| Indicador | Elementos | Parámetros | Valor | Potencial |
|--------------------------------|---------------|--|-----------------|-------------------------|
| Biológico | Fitoplancton | Densidad algal (cél./ml) | 1860 | Moderado |
| | | Clorofila a ($\mu\text{g/L}$) | 2,47 | Bueno o superior |
| | | Biovolumen algal (mm^3/L) | 1,24 | Moderado |
| | | <i>Phytoplankton Assemblage Index (Q)</i> | 3,29 | Bueno o superior |
| | | <i>Phytoplankton Trophic Index (PTI)</i> | 3,97 | Bueno o superior |
| | | <i>Trophic Index (TI)</i> | 2,14 | Bueno o superior |
| | | <i>Phytoplankton Reservoir Trophic Index (PRTI)</i> | 6,21 | Bueno o superior |
| | Zooplancton | <i>Zooplankton Reservoir Trophic Index (ZRTI)</i> | 4,93 | Bueno o superior |
| INDICADOR BIOLÓGICO | | | 2,57 | BUENO o SUPERIOR |
| Fisicoquímico | Transparencia | Disco de Secchi(m) | 1,75 | Moderado |
| | Oxigenación | O_2 hipolimnética (mg O_2/L) | 4,27 | Moderado |
| | Nutrientes | Concentración de PT ($\mu\text{g P/L}$) | 10,07 | Moderado |
| INDICADOR FISICOQUÍMICO | | | 3,0 | MODERADO |
| POTENCIAL ECOLÓGICO | | | MODERADO | |



b) Aproximación normativa (*PEnorm*)

Se han considerado los indicadores, los valores de referencia y los límites de clase B⁺/M (Bueno o superior/Moderado), M/D (Moderado/Deficiente) y D/M (Deficiente/Malo), así como sus ratios de calidad ecológica (RCE), especificados en las tablas 11 y 12, estableciéndose el potencial ecológico del embalse según la metodología descrita en la sección 6.3, apartado b) de la MEMORIA DEL ESTUDIO.

Tabla 11. Valores de referencia propios del tipo (VR_t) y límites de cambio de clase de potencial ecológico de los indicadores de los elementos de calidad de embalses (RD 817/2015).

| Tipo | Elemento | Parámetro | Indicador | VR _t | B ⁺ /M (RCE) | M/D (RCE) | D/M (RCE) |
|---------|--------------|-------------|-------------------------------|-----------------|----------------------------|--------------|--------------|
| Tipo 1 | Fitoplancton | Biomasa | Clorofila a mg/m ³ | 2,00 | 0,211 | 0,14 | 0,07 |
| | | | Biovolumen mm ³ /L | 0,36 | 0,189 | 0,126 | 0,063 |
| | | Composición | Índice de Catalán (IGA) | 0,10 | 0,974 | 0,649 | 0,325 |
| | | | Porcentaje de cianobacterias | 0,00 | 0,908 | 0,607 | 0,303 |
| Tipo 7 | Fitoplancton | Biomasa | Clorofila a mg/m ³ | 2,60 | 0,433 | 0,287 | 0,143 |
| | | | Biovolumen mm ³ /L | 0,76 | 0,362 | 0,24 | 0,12 |
| | | Composición | Índice de Catalán (IGA) | 0,61 | 0,982 | 0,655 | 0,327 |
| | | | Porcentaje de cianobacterias | 0,00 | 0,715 | 0,48 | 0,24 |
| Tipo 9 | Fitoplancton | Biomasa | Clorofila a mg/m ³ | 2,60 | 0,433 | 0,287 | 0,143 |
| | | | Biovolumen mm ³ /L | 0,76 | 0,362 | 0,24 | 0,12 |
| | | Composición | Índice de Catalán (IGA) | 0,61 | 0,982 | 0,655 | 0,327 |
| | | | Porcentaje de cianobacterias | 0,00 | 0,715 | 0,48 | 0,24 |
| Tipo 10 | Fitoplancton | Biomasa | Clorofila a mg/m ³ | 2,60 | 0,433 | 0,287 | 0,143 |
| | | | Biovolumen mm ³ /L | 0,76 | 0,362 | 0,24 | 0,12 |
| | | Composición | Índice de Catalán (IGA) | 0,61 | 0,982 | 0,655 | 0,327 |
| | | | Porcentaje de cianobacterias | 0,00 | 0,715 | 0,48 | 0,24 |
| Tipo 11 | Fitoplancton | Biomasa | Clorofila a mg/m ³ | 2,60 | 0,433 | 0,287 | 0,143 |
| | | | Biovolumen mm ³ /L | 0,76 | 0,362 | 0,24 | 0,12 |
| | | Composición | Índice de Catalán (IGA) | 0,61 | 0,982 | 0,655 | 0,327 |
| | | | Porcentaje de cianobacterias | 0,00 | 0,715 | 0,48 | 0,24 |
| Tipo 12 | Fitoplancton | Biomasa | Clorofila a mg/m ³ | 2,40 | 0,195 | 0,13 | 0,065 |
| | | | Biovolumen mm ³ /L | 0,63 | 0,175 | 0,117 | 0,058 |
| | | Composición | Índice de Catalán (IGA) | 1,50 | 0,929 | 0,619 | 0,31 |
| | | | Porcentaje de cianobacterias | 0,10 | 0,686 | 0,457 | 0,229 |
| Tipo 13 | Fitoplancton | Biomasa | Clorofila a mg/m ³ | 2,10 | 0,304 | 0,203 | 0,101 |
| | | | Biovolumen mm ³ /L | 0,43 | 0,261 | 0,174 | 0,087 |
| | | Composición | Índice de Catalán (IGA) | 1,10 | 0,979 | 0,653 | 0,326 |
| | | | Porcentaje de cianobacterias | 0,00 | 0,931 | 0,621 | 0,31 |



Tabla 12. Parámetros, rangos del RCT y valores para la determinación del potencial ecológico normativo.

| | | | RANGOS DEL RCE | | | | |
|--------------------------------|---------------|---|-------------------|---------------|---------------|------------|--|
| Indicador | Elementos | Parámetros | Bueno o superior | Moderado | Deficiente | Malo | |
| Biológico | Fitoplancton | Clorofila <i>a</i> ($\mu\text{g/L}$) | ≥ 0,433 | 0,432 – 0,287 | 0,286 – 0,143 | < 0,143 | |
| | | Biovolumen algal (mm^3/L) | ≥ 0,362 | 0,361 – 0,24 | 0,23 – 0,12 | < 0,12 | |
| | | Índice de Catalán (IGA) | ≥ 0,982 | 0,981 – 0,655 | 0,654 – 0,327 | < 0,327 | |
| | | Porcentaje de cianobacterias | ≥ 0,715 | 0,714 – 0,48 | 0,47 – 0,24 | < 0,24 | |
| | | | Bueno o superior | Moderado | Deficiente | Malo | |
| INDICADOR BIOLÓGICO | | | > 0,6 | 0,4-0,6 | 0,2-0,4 | < 0,2 | |
| | | | RANGOS DE VALORES | | | | |
| Indicador | Elementos | Parámetros | Muy bueno | Bueno | Moderado | Deficiente | |
| Fisicoquímico | Transparencia | Disco de Secchi (m) | >6 | 3-6 | 1,5 -3 | 0,7 -1,5 | |
| | Oxigenación | O ₂ hipolimnética (mg O ₂ /L) | >8 | 8-6 | 6-4 | 4-2 | |
| | Nutrientes | Concentración de PT ($\mu\text{g P/L}$) | 0-4 | 4-10 | 10-35 | 35-100 | |
| | | | Muy bueno | Bueno | Moderado | | |
| INDICADOR FISICOQUÍMICO | | | < 1,6 | 1,6 – 2,4 | > 2,4 | | |

La combinación de los dos indicadores, fisicoquímico y biológico, para la obtención del potencial ecológico normativo final sigue el esquema de decisiones indicado en la tabla 13:

Tabla 13. Combinación de los indicadores.

| Indicador Biológico | Indicador Fisicoquímico | Potencial Ecológico Experimental |
|---------------------|-------------------------|----------------------------------|
| Bueno o superior | Muy bueno | Bueno o superior |
| Bueno o superior | Bueno | Bueno o superior |
| Bueno o superior | Moderado | Moderado |
| Moderado | Indistinto | Moderado |
| Deficiente | Indistinto | Deficiente |
| Malo | Indistinto | Malo |



En la tabla 14 se incluye el potencial indicado por cada uno de los parámetros, así como la catalogación de la masa de agua según el potencial ecológico final (*PEnorm*) tras pasar el filtro del indicador fisicoquímico.

Tabla 14. Diagnóstico del potencial ecológico (*PEnorm*) del embalse de Albiña.

| Indicador | Elementos | Parámetro | Indicador | Valor | RCE | RCET | <i>PEnorm</i> | | |
|--|---------------|---|---------------------------------------|-----------------|-------|-------------|-------------------------|--|--|
| Biológico | Fitoplancton | Biomasa | Clorofila a (µg/L) | 2,47 | 1,05 | 1,04 | Bueno o superior | | |
| | | | Biovolumen algal (mm ³ /L) | 1,24 | 0,61 | 0,76 | Bueno o superior | | |
| | | | Media | | | 0,90 | | | |
| | | Composición | Índice de Catalán (IGA) | 0,11 | 1,001 | 1,03 | Bueno o superior | | |
| | | | Porcentaje de cianobacterias | 2,17 | 0,98 | 0,97 | Bueno o superior | | |
| | | | Media | | | 1,00 | | | |
| Media global | | | | | | 0,95 | | | |
| INDICADOR BIOLÓGICO | | | | 0,95 | | | BUENO o SUPERIOR | | |
| Indicador | Elementos | Indicador | Valor | <i>PEnorm</i> | | | | | |
| Fisicoquímico | Transparencia | Disco de Secchi (m) | 1,75 | Moderado | | | | | |
| | Oxigenación | O ₂ hipolimnética (mg O ₂ /L) | 4,27 | Moderado | | | | | |
| | Nutrientes | Concentración de PT (µg P/L) | 10,07 | Moderado | | | | | |
| INDICADOR FISICOQUÍMICO | | | | 3,0 | | | MODERADO | | |
| POTENCIAL ECOLÓGICO <i>PEnorm</i> | | | | MODERADO | | | | | |



ANEXO I. REPORTAJE FOTOGRÁFICO



Figura 6. Vista de la cola del embalse.

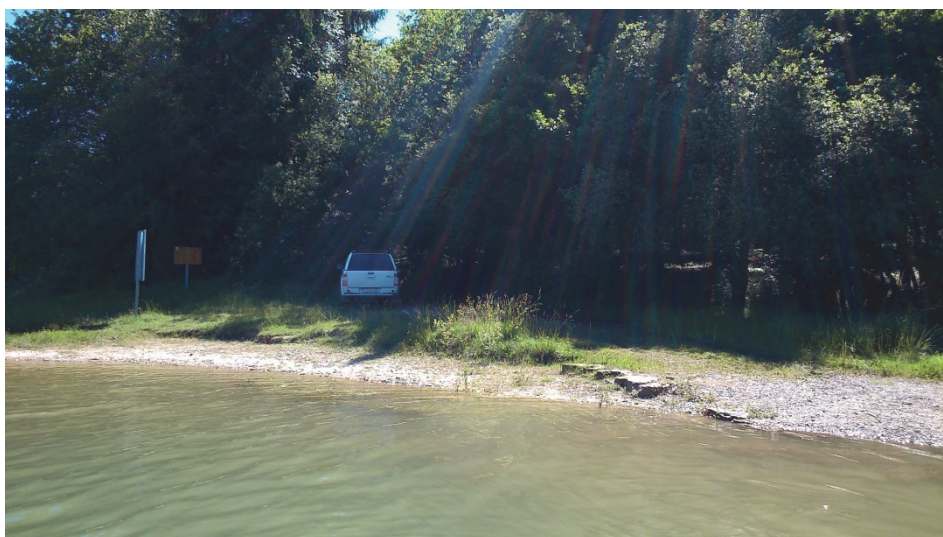


Figura 7. Vista del punto de acceso.